

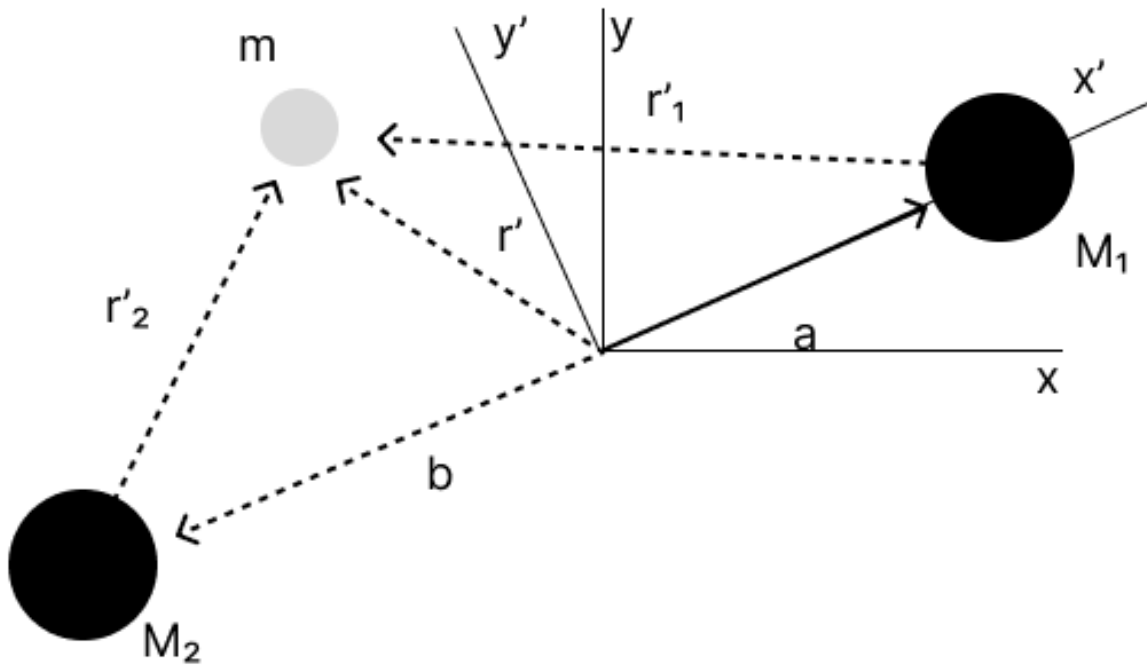
# 제한적 3입자계 문제

3507 설채환

# 1. 제한적 3입자계 문제

- 3입자계 문제는 3입자가 3차원 공간에서 중력을 받으며 운동하는 상황을 다루는 문제이다.
- 2차 미분 방정식 9개를 풀어야 하는 문제로 일반적인 해를 구하기 힘들다.
- 단순화시킨 경우에는 풀이가 가능하다. 이러한 특별한 경우를 제한적 3입자계 문제라고 한다.
- 3개의 입자 중 특별히 무거운 주체 입자 2개와 제 3입자 1개로 이루어졌다고 가정
- 질량중심을 중심으로 동일 평면에서 원운동을 한다고 가정

## 2. 제한적 3입자계의 운동방정식



$$r_1' = \sqrt{(x' - a)^2 + y'^2} \quad r_2' = \sqrt{(x' + b)^2 + y'^2}$$

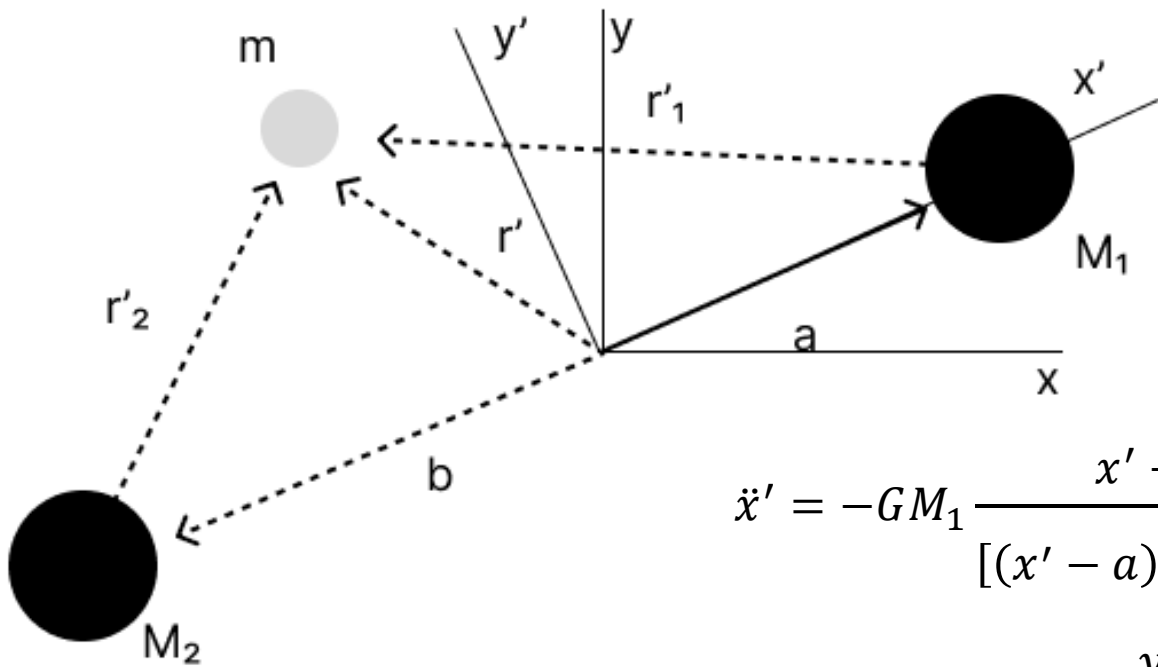
$$\vec{F} = -m \frac{GM_1}{r_1'^2} \left( \frac{\vec{r}_1'}{r_1'} \right) - m \frac{GM_2}{r_2'^2} \left( \frac{\vec{r}_2'}{r_2'} \right)$$

(좌표계는 질량 중심에 고정, 등속 회전)

$$\vec{F}' = m\vec{a}' = \vec{F} - 2m\vec{\omega} \times \vec{v}' - m\vec{\omega} \times (\vec{\omega} \times \vec{r}')$$

$$\vec{a}' = \frac{\vec{F}}{m} - 2\vec{\omega} \times \vec{v}' - \vec{\omega} \times (\vec{\omega} \times \vec{r}') \dots (1)$$

## 2. 제한적 3입자계의 운동방정식



$$2\vec{w} \times \vec{v}' = 2w\hat{k}' \times (\dot{x}'\hat{i}' + \dot{y}'\hat{j}') = -2w\dot{y}'\hat{i}' + 2w\dot{x}'\hat{j}'$$

$$\begin{aligned}\vec{w} \times (\vec{w} \times \vec{r}') &= w\hat{k}' \times [w\hat{k}' \times (\dot{x}'\hat{i}' + \dot{y}'\hat{j}')] \\ &= -w^2 x'\hat{i}' - w^2 y'\hat{j}'\end{aligned}$$

두 식을 (1)에 대입하면

$$\ddot{x}' = -GM_1 \frac{x' - a}{[(x' - a)^2 + y'^2]^{\frac{3}{2}}} - GM_2 \frac{x' + b}{[(x' + b)^2 + y'^2]^{\frac{3}{2}}} + w^2 x' + 2w\dot{y}' \dots (2)$$

$$\ddot{y}' = -GM_1 \frac{y'}{[(x' - a)^2 + y'^2]^{\frac{3}{2}}} - GM_2 \frac{y'}{[(x' + b)^2 + y'^2]^{\frac{3}{2}}} + w^2 y' - 2w\dot{x}' \dots (3)$$

### 3. 유효 퍼텐셜

$$\Phi(r') = \frac{l^2}{2r'^2} + V(r'), l = r'^2 \dot{\theta} \quad \Phi(r') = -\frac{GM_1}{|\vec{r}' - \vec{a}|} - \frac{GM_2}{|\vec{r}' - \vec{b}|} - \frac{1}{2}w^2 \vec{r}'^2$$

$$\Phi(x', y') = -\frac{GM_1}{\sqrt{(x' - a)^2 + y'^2}} - \frac{GM_2}{\sqrt{(x' + b)^2 + y'^2}} - \frac{1}{2}w^2(x'^2 + y'^2)$$

단위를 바꾸어서 식을 단순화시켜보자.

$$\alpha = \frac{a}{a+b} \quad G(M_1 + M_2) = 1 \quad w = 1 \quad (\text{지구-태양에서 시간 단위를 1년, 거리를 AU, 질량 단위를 태양질량으로 하는 것과 동일한 과정})$$

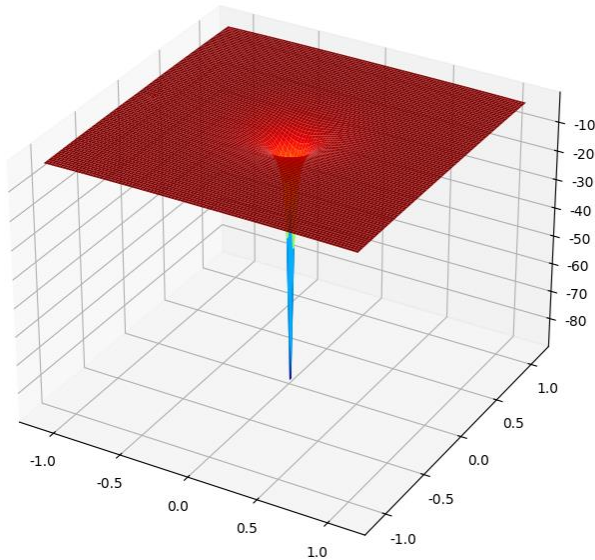
$$\frac{GM_1}{G(M_1 + M_2)} = \frac{b}{a+b} = 1 - \alpha \quad \frac{GM_2}{G(M_1 + M_2)} = \frac{a}{a+b} = \alpha$$

### 3. 유효 퍼텐셜

$$\Phi(x', y') = -\frac{1-\alpha}{\sqrt{(x'-\alpha)^2 + y'^2}} - \frac{\alpha}{\sqrt{(x'+1-\alpha)^2 + y'^2}} - \frac{1}{2}(x'^2 + y'^2)$$

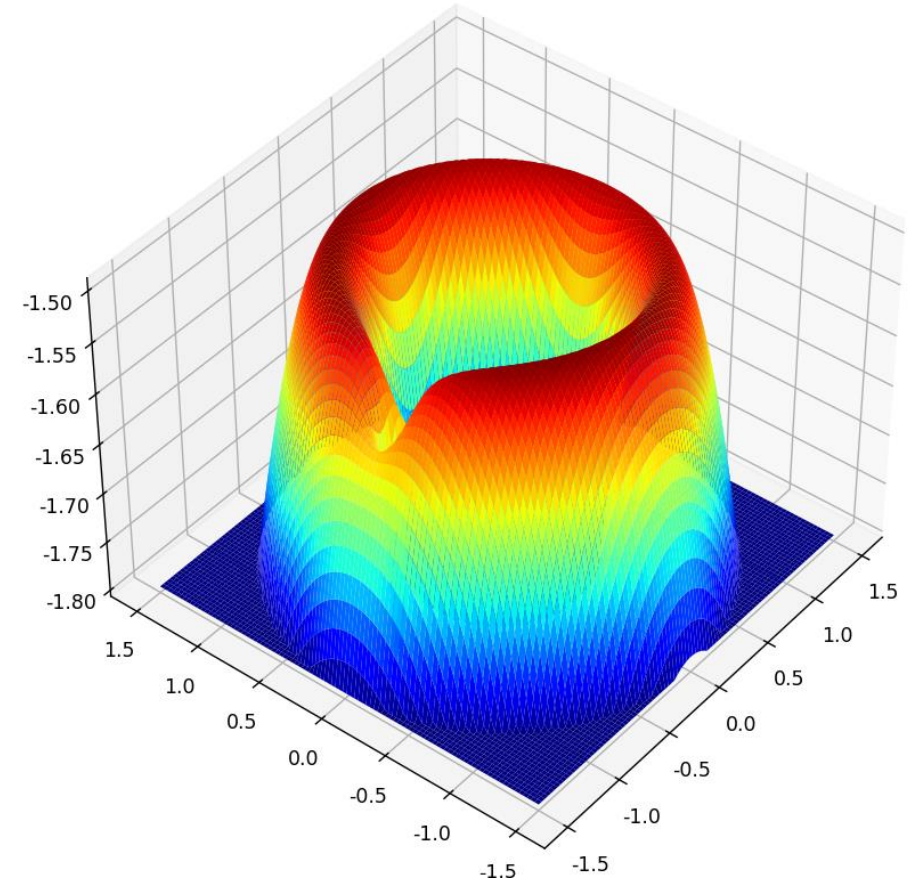
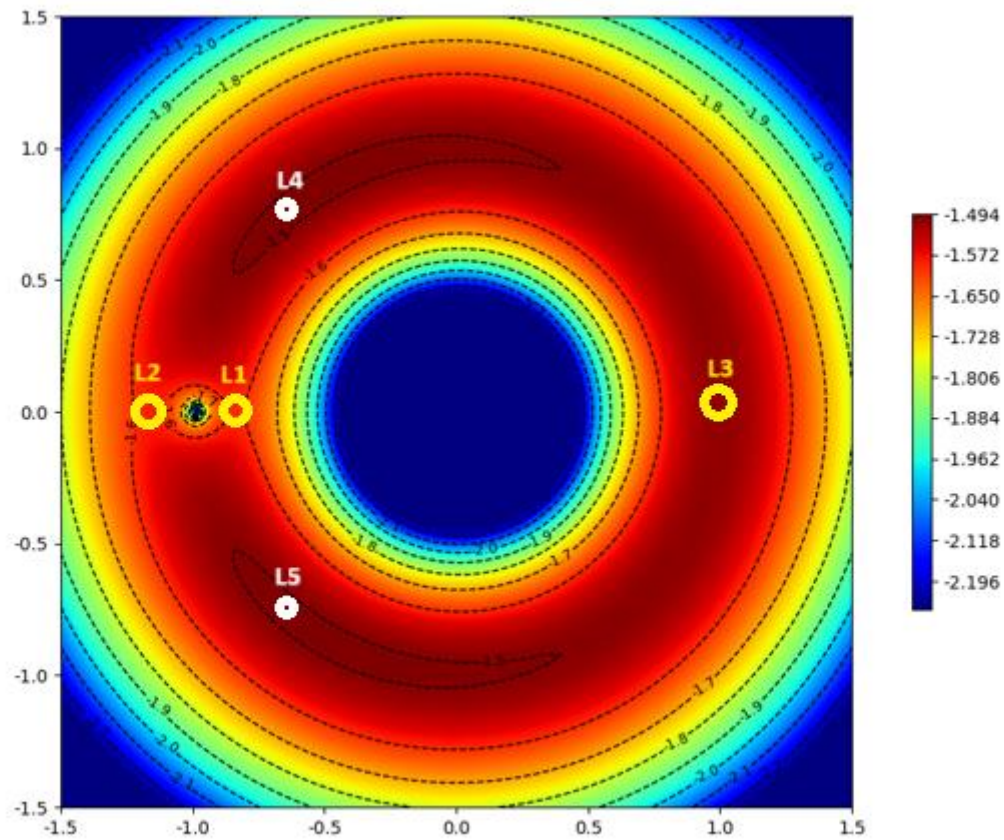
(지구-달의 계)

$$M_e = 5.972 \times 10^{24} \text{Kg} \quad M_m = 7.36 \times 10^{22} \text{Kg} \quad r = 385000 \text{km} \quad \therefore \alpha = \frac{M_m}{M_e + M_m} = 0.012174$$



지구 부분의 퍼텐셜이 너무 낮음  
→ 최솟값을 제한

### 3. 유효 퍼텐셜



L4, L5는 다른 점들에 비해 더 안정적이라, 태양-목성 계의 L4, L5에는 소행성이 많이 있다.

<https://github.com/seolmango/threeParticle>

## 4. 트로이 소행성 (태양-목성 계)

$$r_1' = \sqrt{(x' - \alpha)^2 + y'^2} \quad r_2' = \sqrt{(x' + 1 - \alpha)^2 + y'^2} \quad (2) \text{와 } (3) \text{에 대입하여 정리하면}$$

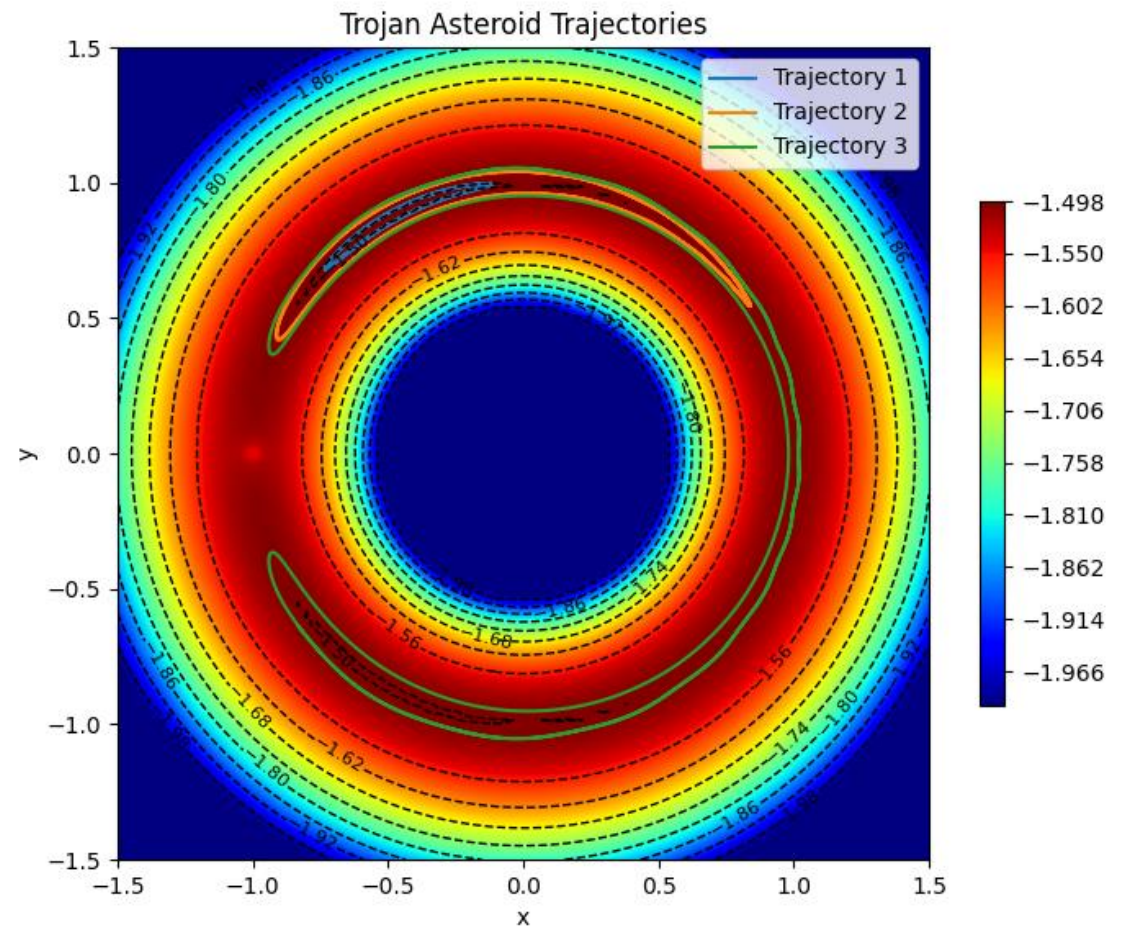
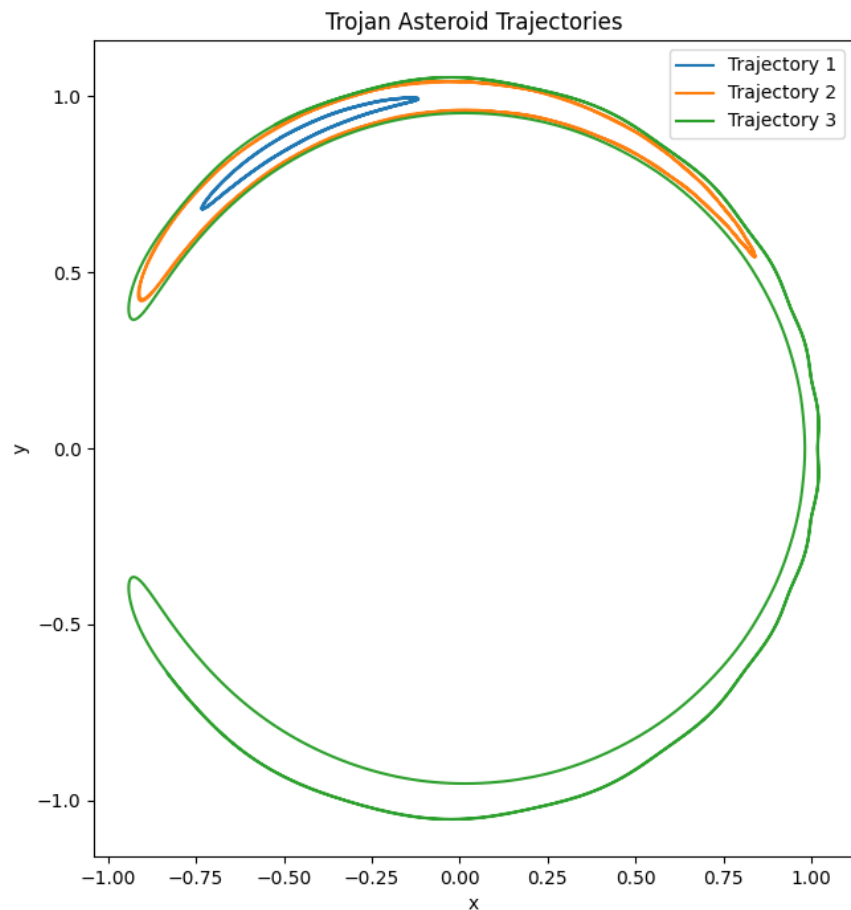
$$\ddot{x}' = -(1 - \alpha) \frac{x' - \alpha}{r_1'^3} - \alpha \frac{x' + 1 - \alpha}{r_2'^3} + x' + 2\dot{y}' \dots (4) \quad \ddot{y}' = -(1 - \alpha) \frac{y'}{r_1'^3} - \alpha \frac{y'}{r_2'^3} + y' - 2\dot{x}' \dots (5)$$

$$M_s = 1.9889 \times 10^{30} \text{Kg} \quad M_j = 1.899 \times 10^{27} \text{Kg} \quad \therefore \alpha = \frac{M_j}{M_s + M_j} = 0.000954$$

	궤도 1	궤도 2	궤도 3	궤도 4	궤도 5
$x'_0$	-0.509	-0.524	-0.524	-0.509	-0.532
$y'_0$	0.883	0.909	0.920	0.883	0.920
$\dot{x}'_0$	0.0259	0.0647	0.0780	-0.0259	0.0780
$\dot{y}'_0$	0.0149	0.0367	0.0430	-0.0149	0.0430

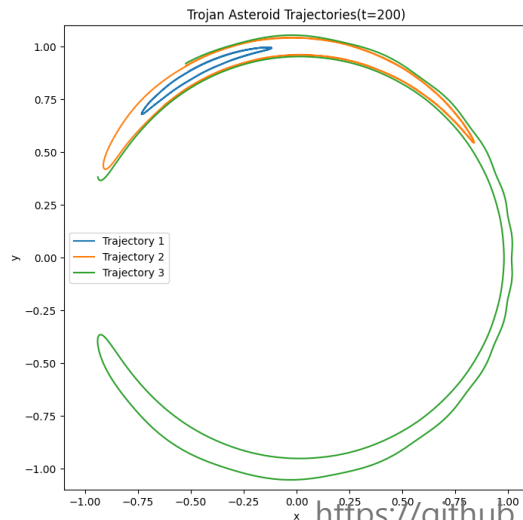
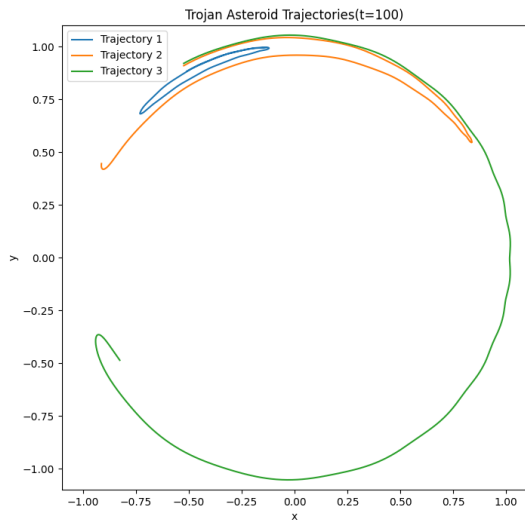
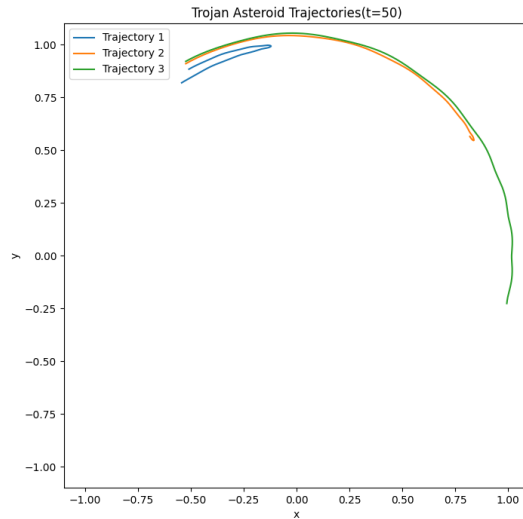
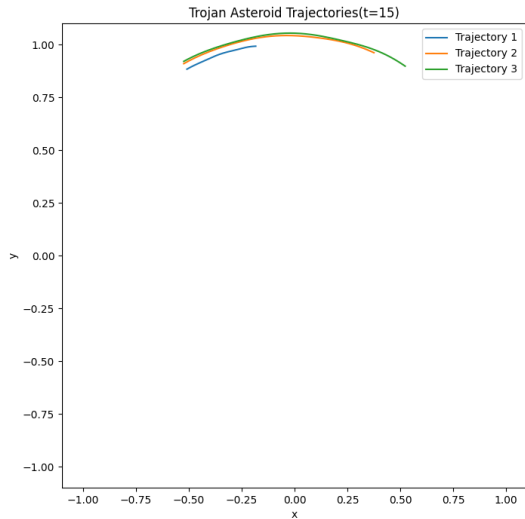


## 4. 트로이 소행성 (태양-목성 계)



L4, L5 주위를 맴도는 운동 → <https://github.com/seolmango/threeParticle>

# 4. 트로이 소행성 (태양-목성 계)



1. 퍼텐셜 등고선을 따라 운동

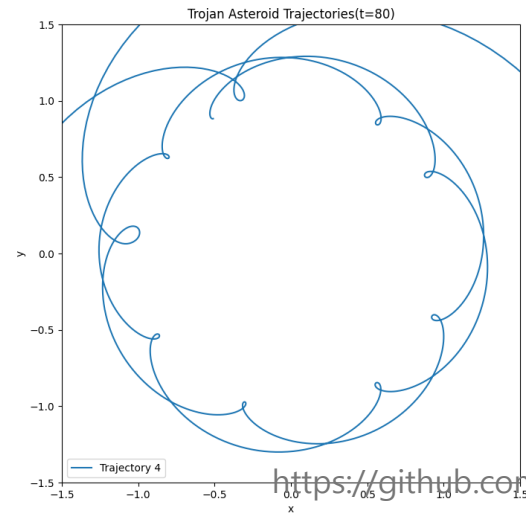
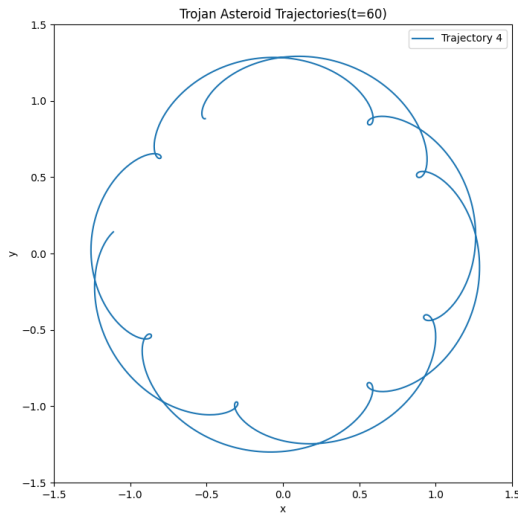
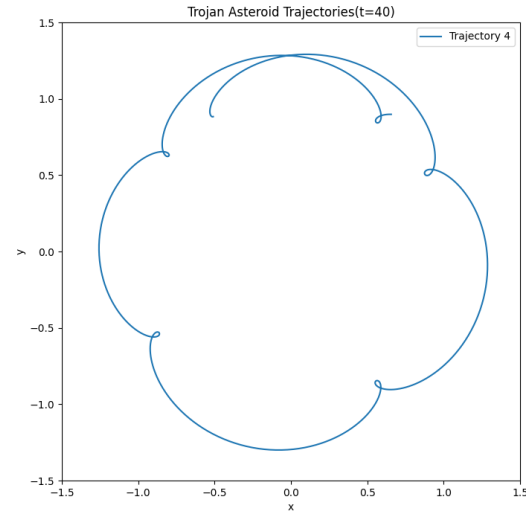
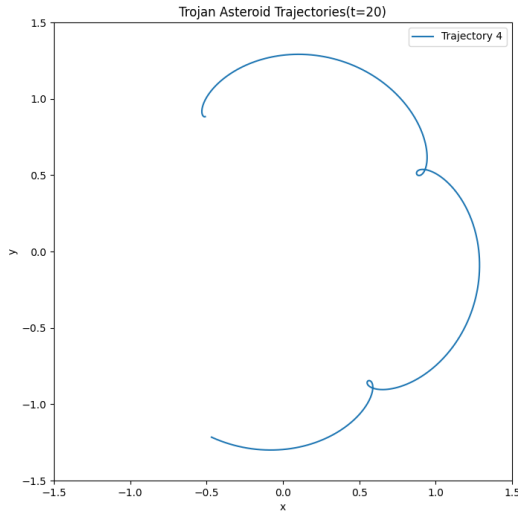
➔ 전향력은 방향만 바꾸고, 속력을 변화시키지 못하기 때문에, 운동에너지가 일정하기 때문이다.

2. 시계 방향으로 회전

➔ 전향력에 의해 주체 입자의 회전 방향과 반대로 도는 경우에 안쪽으로 힘이 작용하게 됨

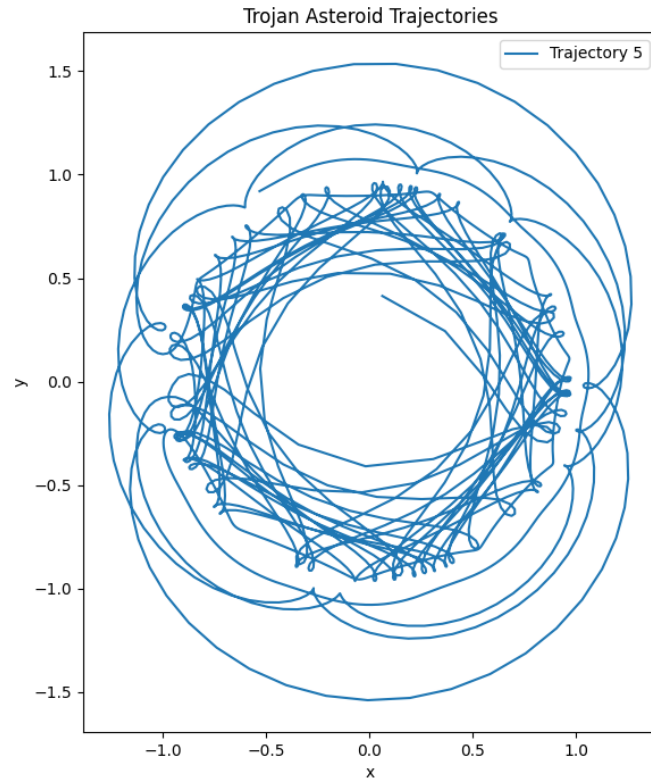
➔ 즉, 주체 입자와 반대로 돌아야 더 안정함.

## 4. 트로이 소행성 (태양-목성 계)



궤도 4는 궤도 1과 초기 속도만 다른 궤도  
➔ 몇 번 고리 모양으로 돌다가 결국 완전히 날아감

## 4. 트로이 소행성 (태양-목성 계)



궤도 5는 궤도 3과 초기 위치만 조금 다른 궤도  
➔ 완전히 다른 궤도를 돌게 됨